

Cap 8

0
=

1. Eq. S. dependente do tempo

- motivações ; derivadas parciais
- solução separável \Rightarrow estacionária
- combinação linear de soluções estacionárias

2. Eq. S. em ~~2 e 3 dimensões~~ espaciais

- extensão natural: $N \rightarrow N(x, y, z)$
 $U \rightarrow U(x, y, z)$

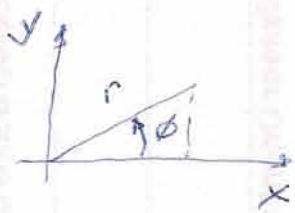
$$-\frac{\hbar^2}{2m} \nabla^2 \psi + U\psi = E\psi$$

3. Caixa rígida (quadrada) bi-dimensional

- . separações de variáveis
- . discussão: ~~projeções~~ dos momentos
- . energias permitidas
- . números quânticos (n_x, n_y)
- . diagrama de níveis
- . degenerescência
- . curvas de nível de $1+l^2$
- . número de linhas nodais dos estados estacionários

4. Força central em 2 dimensões

- não realiza trabalho em deslocamento transverso
 $\Rightarrow U$ não depende de ϕ



$$0 \leq r < \infty$$

$$\phi = \phi_0 \text{ e } \phi = \phi_0 + 2\pi: \text{ mesma direção}$$

- 2 fatos importantes:

- . energias permitidas dadas por 2 números quânticos
- . um deles tem conexão estreita com o momento angular da partícula

$$\psi(x, y) \rightarrow \psi(r, \phi)$$

$$\frac{\partial^2 \psi}{\partial x^2} + \frac{\partial^2 \psi}{\partial y^2} = \frac{\partial^2 \psi}{\partial r^2} + \frac{1}{r} \frac{\partial \psi}{\partial r} + \frac{1}{r^2} \frac{\partial^2 \psi}{\partial \phi^2} = \frac{2M}{\hbar^2} \times [U(r) - E] \psi$$

Separação de variáveis

$$\psi(r, \phi) = R(r) \Phi(\phi)$$

$$\Phi(\phi) \left[R''(r) + \frac{R'(r)}{r} \right] + \frac{R(r)}{r^2} \Phi''(\phi) = \frac{2M}{\hbar^2} \times [U(r) - E] R(r) \Phi(\phi)$$

$$\frac{\Phi''}{\Phi} = - \frac{r^2 R'' + r R'}{R} + \frac{2Mr^2}{\hbar^2} [U(r) - E] = -m^2$$

Equações em ϕ

$$\Phi'' = -m^2 \Phi \Rightarrow \Phi(\phi) = e^{im\phi}, m \text{ positivo ou negativo}$$

Condições de contorno:

$$\psi(r, \phi) = \psi(r, \phi + 2\pi) \Rightarrow e^{im\phi} = e^{im(\phi + 2\pi)}$$

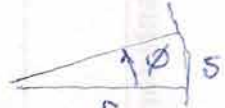
$$e^{im2\pi} = 1 \Rightarrow m \text{ é inteiro } (= 0, \pm 1, \pm 2, \dots)$$

Quantizações do momento angular

$$\psi(r, \phi) = R(r) e^{im\phi}$$

Fixe r , vamos estudar a dependência em ϕ :

$$\psi(r, \phi) \propto e^{im\phi} = e^{im\frac{\phi}{r}}$$



$$(s=r\phi \Rightarrow \phi = \frac{s}{r})$$

Compare com $e^{ikx} = e^{i\frac{p_x}{\hbar}x}$

$$\Rightarrow \phi_{\text{tangente}} = \hbar \frac{m}{r} \Rightarrow \underbrace{p_{\text{tg}}}_{L_z \text{ (ou } L_z\text{)}}^r = m\hbar$$



$L_z = m\hbar$, $m = 0, \pm 1, \pm 2, \dots$, o que vale para qualquer componente (L_x, L_y)

Níveis de energia

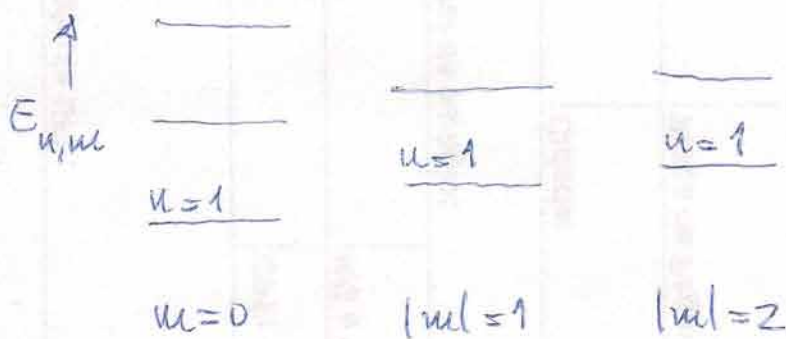
A equação radial é

$$R'' + \frac{R'}{r} - \left[\frac{m^2}{r^2} + \frac{2M}{\hbar^2} (U - E) \right] R = 0$$

- eq. dif. ordinária, que envolve E como parâmetro e que depende de m
- só tem soluções aceitáveis para certos valores particulares de E .
- as energias permitidas dependem de L_z : quanto maior L_z , maior E

Para cada valor de n (de n^2):

- encontramos valores permitidos de E , que notulamos com m ($= 1, 2, n$) :
- nível n com mom. angular m tem energia $E_{n,m} = E_{n,-m} \rightarrow$ cada nível é identificado por 2 números quânticos.
- todos os níveis com $n \neq 0$ são duplamente degenerados (orbitam em direções opostas claramente)

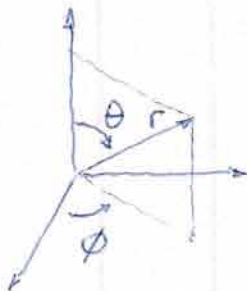


5. Força central em 3 dimensões

Problema + importante da MQ, exemplificado pelo elétron no átomo de H. De sua compreensão dependem:

- nosso entendimento sobre os átomos, e toda a química
- n e m sobre o movimento interno nos núcleos atômicos e toda a física nuclear

coordenadas esféricas



$$\nabla^2 \psi = \frac{1}{r} \frac{\partial^2}{\partial r^2} (r \psi) + \frac{1}{r^2 \sin \theta} \frac{\partial}{\partial \theta} (\sin \theta \frac{\partial \psi}{\partial \theta}) + \frac{1}{r^2 \sin^2 \theta} \frac{\partial^2 \psi}{\partial \phi^2}$$

- separações de variáveis

$$\psi(r, \theta, \phi) = R(r) \Theta(\theta) \Phi(\phi)$$

↓

$$\frac{\frac{\partial^2 \psi}{\partial r^2}}{\psi} = (\text{função de } r \text{ e } \theta) = -m^2$$

O que sobra:

$$(\text{função de } \theta) = (\text{função de } r) = -k$$

resultando as equações

$$\frac{1}{\sin \theta} \frac{d}{d\theta} (\sin \theta \frac{d\Theta}{d\theta}) + \left(k - \frac{m^2}{\sin^2 \theta} \right) \Theta = 0$$

$$\text{e } \frac{d^2}{dr^2} (rR) = \frac{2M}{\hbar^2} \left[U(r) + \frac{k\hbar^2}{2Mr^2} - E \right] (rR)$$

Note: resultam 3 eq. dif. ordinárias

- eq. em ϕ = caso 2 dim

- eq. em ϕ e θ não envolvem U !

⇒ soluções é a mesma para qualquer problema de força central.

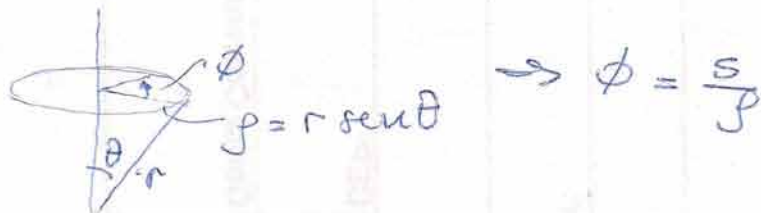
- $U(r)$ e E só aparecem na eq. radial

⇒ ela determina os valores permitidos da energia

Quantizações do momento angular

$$\Psi(\phi) = e^{im\phi}, \quad m=0, \pm 1, \dots$$

Fixe r e θ



$$\Psi(\phi) = e^{i \frac{m}{\hbar} \phi} \rightarrow \dot{\phi}_{\text{tang}} = \frac{h_m}{\hbar}$$

$$\dot{\phi}_{\text{tang}} \cdot \hbar = L_z = m \hbar$$

Equações em θ (equações de Legendre)

Tem soluções para qq. valor de k ; a maioria vai a zero se $\theta=0$ ou $\theta=\pi$: são fisicamente inaceitáveis.

Só tem soluções aceitável (única!) se

$$k = l(l+1), \quad l \text{ inteiro positivo, } l \geq |m|$$

↓

$$\Psi_{lm}(\theta) \rightarrow \Psi(r, \theta, \phi) = R(r) \Psi_{lm}(\theta) \cancel{e^{im\phi}} e^{im\phi}$$

Uma partícula com esta função de onda tem $|L|^2 = l(l+1)\hbar^2$

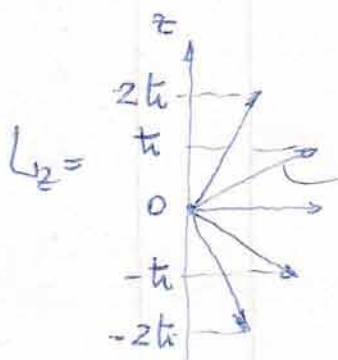
→ o número quântico l determina o módulo de L ($l=0, 1, 2, \dots$)

Para l dado, $m = l, l-1, \dots, 0, \dots, -l$

Modelo vetorial

Encontramos funções de onda para as quais o módulo e a componente \hat{z} do movimento angular são quantizados, resultado puramente quântico.

Visualizações clássica: ($\ell=2$)



$$L = \sqrt{\ell(\ell+1)} \hbar = \sqrt{2 \cdot 3} \hbar \approx 2.4 \hbar$$

↓
orientação espacial de \vec{L} é
quantizada: quantização
espacial

O eixo \hat{z} não tem nada de especial; se escolhermos x como eixo polar $\Rightarrow L_x$ é quantizado.

Princípio de incerteza: 2 componentes de \vec{L} não podem ter valor bem definido simultaneamente (a não ser que sejam nulas): estado com L_z bem definido

~~↑~~ não tem L_x ou L_y "

↓
 \vec{L} está distribuído aleatoriamente sobre
superfície de cone: visão clássica

As funções angulares

$$Y_{lm}(\theta, \phi) = \Theta_{lm}(\theta) e^{ilm\phi}$$

são os
harmônicos esféricos

=

?

30/6/11

1

Exemplo: resolver as equações para $\Theta(\theta)$ em alguns casos particulares ($l=0$, $l=1$ e $m=0$)

$$\frac{1}{\sin \theta} \frac{d}{d\theta} (\sin \theta \frac{d\Theta}{d\theta}) + \left[l(l+1) - \frac{m^2}{\sin^2 \theta} \right] \Theta = 0$$

(a) $l=0 \Rightarrow m=0$

$$\frac{1}{\sin \theta} \frac{d}{d\theta} (\sin \theta \frac{d\Theta}{d\theta}) = 0 \Rightarrow \sin \theta \frac{d\Theta}{d\theta} = \text{const.}$$

\Downarrow

$$\Rightarrow \Theta(\theta) = \text{const.}$$

$$\text{Logo, } Y_{lm}(\theta, \phi) = \Theta(\theta) \frac{\Phi(\phi)}{e^{im\phi}} = \text{const.}, \text{ e}$$

$$\psi(r, \theta, \phi) = R(r) \times \text{constante} \quad (l=m=0)$$

\Downarrow

$|\psi(r, \theta, \phi)|^2$ é esfericamente simétrica

(b) $l=1$ ($m=-1, 0, 1$) e $m=0$

$$\frac{1}{\sin \theta} \frac{d}{d\theta} (\sin \theta \frac{d\Theta}{d\theta}) + 2\Theta = 0$$

\Downarrow

por inspeção, $\Theta(\theta) = \cos \theta$ é solução

$$\psi(r, \theta, \phi) = R(r) \cdot \cos \theta$$

\Downarrow

(sempre que $m=0$, ψ não depende de ϕ)

$|\psi|^2 \propto \cos^2 \theta \rightarrow$ partícula com $l=1$ e $m=0$ será encontrada com maior probabilidade perto do eixo polar $\theta=0$ e $\theta=\pi$, e a densidade=0 no plano $x-y$ ($\theta=\pi/2$) \Rightarrow forma das moléculas

As funções $\psi_{lm}(\theta)$ são as funções associadas de Legendre.

7. Níveis de energia do átomo de hidrogênio determinados pela soluções de

$$\frac{d^2}{dr^2}(rR) = \frac{2M}{\hbar^2} [U(r) + \frac{\ell(\ell+1)\hbar^2}{2Mr^2}] - E (rR)$$

analogia com "potencial centrífugo" clássico!

Valores permitidos de E dependem de ℓ , mas não dependem de m : para um dado valor de ℓ (ou $|\vec{l}| = \sqrt{\ell(\ell+1)}\hbar$), encontramos o mesmo valor da energia para todas as $(2\ell+1)$ diferentes orientações $m = -\ell, -\ell+1, \dots, \ell$ de \vec{l} (por modelo vetorial); consistente com física clássica: como a força tem simetria esférica, a energia não pode depender da orientação (plano) da órbita.

- Solução detalhada depende de $U(r)$

Eletrônou ligado a próton no átomo de H:

$$U(r) = -\frac{ke^2}{r}$$

Resulta a eq.

$$\frac{d^2}{dr^2} (rR) = \frac{2me}{\hbar^2} \left[-\frac{ke^2}{r} + \frac{e(e+1)\hbar^2}{2me r^2} - E \right] (rR)$$

que tem soluções aceitáveis se

$$E = - \underbrace{\frac{me(k\epsilon)^2}{2\hbar^2}}_{E_R} \frac{1}{n^2}, \quad n > l$$

$$\Downarrow \quad E_R = 13,6 \text{ eV}, \quad \frac{\hbar^2}{me k\epsilon^2} = a_B, \quad E_R = \frac{ke^2}{2a_B}$$

$$E_n = - \frac{E_R}{n^2} \quad (\text{como no modelo de Bohr})$$

Síntese:

- $n = 1, 2, \dots$

- $l = 0, 1, \dots, n-1$

- $m = -l, -l+1, \dots, l$

- Estado fundamental:

- $n = 1, l = 0, m = 0$

A energia coincide com a do modelo de Bohr, mas o momento angular não!

- 1º estado excitado

$$n = 2 : \quad l = \begin{cases} 0, & m = 0 \\ \text{ou} \\ 1, & m = 1, 0, -1 \end{cases}$$

4x degenerado!

- Para o nível \underline{n} , há \underline{m} valores possíveis de l ($= 0, 1, \dots, n-1$)

- Diagramas e letras de código

$$E_4 = -\frac{E_R}{16}$$

4s(1)

4p(3)

4d(5)

4f(7)

$$E_3 = -\frac{E_R}{9}$$

3s(1)

3p(3)

3d(5)

$$E_2 = -\frac{E_R}{4} = -3,4 \text{ eV}$$

2s(1)

2p(3)

$$E_1 = -E_R = -13,6 \text{ eV}$$

1s(1)

$$l = 0$$

$$1$$

$$2$$

$$3$$

$$L = 0$$

$$\sqrt{2} h$$

$$\sqrt{6} h$$

$$\sqrt{12} h$$

$$\text{letra} = s$$

$$p$$

$$d$$

$$f$$

Letras maiúsculas (S, P, D) são usadas na discussão de átomos de muitos elétrons

- degenerescência do nível \underline{n} :

$$1 + 3 + 5 + \dots + (2n-1) = n^2 \quad (\text{Lista 20})$$

- Estados estacionários do H: identificados por 3 números quânticos (n : principal, determina a energia)

- Outros átomos: E depende de \underline{l}

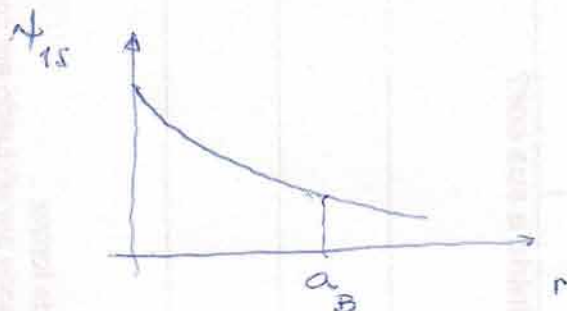
8. Funções de onda hidrogenóides (discussão qualitativa)

• Estado fundamental ($1s$)

$$\Psi_{1s}(r, \theta, \phi) = R_{1s}(r)$$

$$\frac{d^2}{dr^2} (rR) \stackrel{\downarrow}{=} \left(\frac{1}{n^2 a_B^2} - \frac{2}{a_B r} \right) (rR) \quad (l=0)$$

Se $n=1$, $R_{1s}(r) = A e^{-r/a_B}$



$|\Psi_{1s}|^2$ é máximo em $r=0$!

(Em todos os estados \leq , $|\Psi|^2 \neq 0$ em $r=0$;

se $l \neq 0 \Rightarrow |\Psi|^2 = 0$ em $r=0$

imagem clássica ; esta diferença

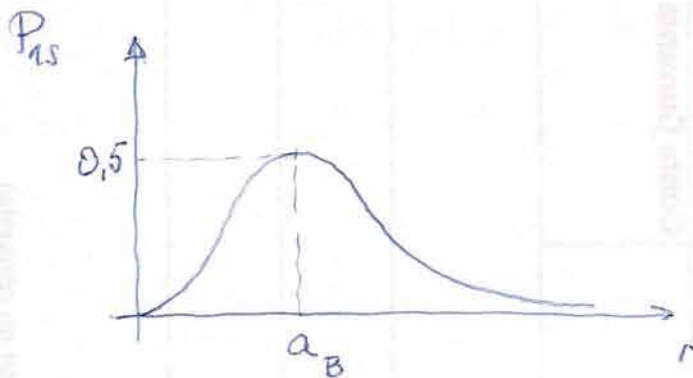
tem consequências importantes em átomos de muitos elétrons)

Probabilidade de encontrar elétron em camada esférica entre r e $r+dr$

$$Pr(dr \text{ em } r) = |\Psi|^2 dr = \underbrace{|R(r)|^2 4\pi r^2 dr}_{P(r)} = 4\pi r^2 |R(r)|^2$$

Para o estado $1s$:

$$P_{1s}(r) = 4\pi A^2 r^2 e^{-2r/a_B}$$



Exemplos

$$(a) A = ?$$

$$\int_0^\infty P(r) dr = 1 = 4\pi A^2 \int_0^\infty r^2 e^{-2r/a_B} dr$$

↓

$$A = \frac{1}{\sqrt{\pi a_B^3}}$$

$$(b) \langle U \rangle = ?$$

$$\langle U \rangle = \int_0^\infty U(r) P(r) dr = -\frac{4ke^2}{a_B^3} \int_0^\infty r e^{-2r/a_B} dr$$

↓

$$\langle U \rangle = -\frac{ke^2}{a_B^2}$$

(resultado igual foi obtido com o átomo de Bohr)

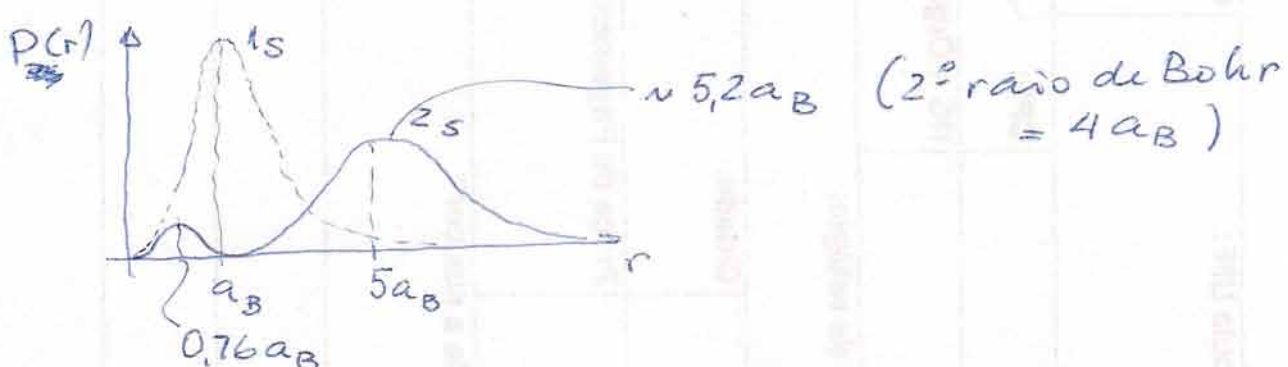
• Funções 2s ($n=2, l=0$)

Se $n=2$, 4 estados a considerar, todos com $E = -\frac{ER}{4}$

O 2s:

$$\psi_{2s}(r, \theta, \phi) = R_{2s}(r) = A \left(2 - \frac{r}{a_B}\right) e^{-r/2a_B}$$

$$P_{2s}(r) = 4\pi r^2 |R_{2s}(r)|^2$$



• Funções 2p ($n=2, l=1$)

$$m_l - m = 0$$

$$\Downarrow$$

$$\psi(\theta) = \cos\theta, \quad \psi(r, \theta, \phi) = R_{2p}(r) \cos\theta,$$

usualmente chamada $2p_z$.

$$R_{2p}(r) = A r e^{-r/2a_B}$$

(nula na origem), e

$$\psi(r, \theta, \phi) = A r e^{-r/2a_B} B \cos\theta \quad (n=2, l=1, m=0).$$

$$= A z e^{-r/2a_B}$$

Mais difícil de visualizar; uma maneira:
curvas de nível de $|\psi|^2$ no plano x-z
(já que ψ não depende de ϕ)

141^2 tem máximos no eixo \underline{z} (onde $\cos \theta = \pm 1$) nos pontos $z = \pm 2a_B$, e é nula no plano xy (onde $\cos \theta = 0$). A região na qual o elétron tem maior probabilidade de ser encontrado consiste de 2 volumes aproximadamente esféricos centrados no eixo \underline{z} .



O estado $2p$ (com $m_l = 0$) é chamado $2p_z$ porque o elétron está concentrado perto do eixo \underline{z} .

Funções $2p_x$ e $2p_y$

$$\psi_{2p_x} = A_x e^{-r/2a_B}, \quad \psi_{2p_y} = A_y e^{-r/2a_B}$$

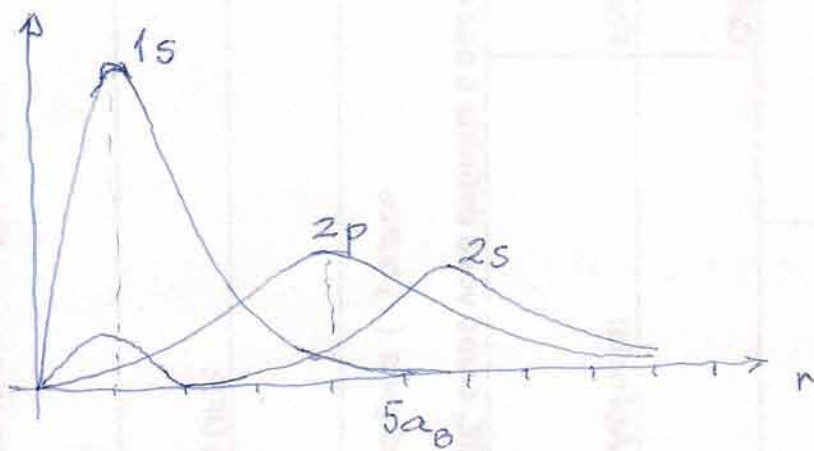
A discussão feita acima sobre a $2p_z$ se aplica a estas 2, trocando-se \underline{z} por \underline{x} ($2p_x$) e por \underline{y} ($2p_y$).

O cálculo da probabilidade de encontrar o elétron entre r e $r+dr$ envolve agora uma integração sobre os ângulos θ e ϕ , com o resultado

$$Pr(\text{entre } r \text{ e } r+dr) = P(r)dr$$

$$P_{2p}(r) = 4\pi r^2 |R_{2p}(r)|^2 = 4\pi A^2 r^4 e^{-r/a_B},$$

com máximo em $r=4a_B$ (que coincide exatamente com o raio de Bohr da 2ª órbita)



Uma complicação a mais: o estado $2p_x$ ($2p_y$) é a soma ~~das~~ (diferença) das funções de onda para $m=+1$ e $m=-1$ (não correspondem, portanto, a um valor bem definido de L_z)

A propriedade importante dos estados $2p$ é:

- qualquer função de onda z_p ($n=2, l=1$) pode ser escrita como combinações das funções de onda com $m=+1, 0 \text{ e } -1$, ou como combinações de $2p_x, 2p_y \text{ e } 2p_z$ - a escolha é uma questão de conveniência.

Analogia com o poço infinito, no qual as soluções podem ser escritas como combinações de $\sin kx$ e $\cos kx$ ou como combinações de e^{ikx} e e^{-ikx} . Quando procurarmos os níveis de energia, o primeiro par é mais conveniente, enquanto o segundo nos permite interpretações em termos do momento.

Síntese: a função de onda para o estado de números quânticos $n, l \text{ e } m$ tem a forma

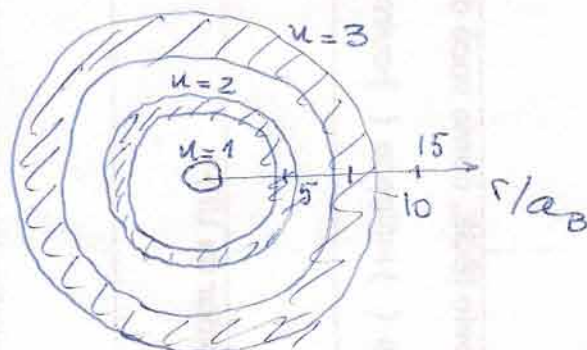
$$\begin{aligned}\psi_{nml}(r, \theta, \phi) &= R_{nl}(r) Y_{lm}(\theta, \phi) = \\ &= R_{nl}(r) \Theta_{lm}(\theta) e^{im\phi}\end{aligned}$$

9. Camadas

Os raios "mais prováveis" são, para os estados

1s	a_B	
2s	$5,2 a_B$)
2p	$4 a_B$)
3s	$13,1 a_B$)
3p	$12 a_B$)
3d	$9 a_B$)

Para um dado valor de \underline{n} , eles estão relativamente agrupados:



Usamos o termo camada para nos referir ao conjunto de estados associados a um valor específico de \underline{n} , que, no átomo de H, pode ser entendido como uma camada espacial (raios mais prováveis agrupados ~~exatamente~~ perto de $\underline{n}^2 a_B$) ou energética (todos os estados de uma camada têm a mesma energia).

10. Ions hidrogenóides

A extensão para estes sistemas é imediata, nos moldes do que fizemos no atomo de Bohr:

H

$$U = - \frac{ke^2}{r}$$

ion de número atômico z^2

$$U = - k \frac{ze^2}{r}$$

~~compartilhando o mesmo espaço~~

& basta substituir ke^2 por zke^2 na solução, o que permite 3 conclusões imediatas:

- as propriedades angulares são identicas (não dependem de U)

- energias possíveis para o ion são

$$E = - \frac{m_e(zke^2)^2}{2\pi^2} \frac{1}{n^2} = - z^2 \frac{E_R}{mz}$$

- extensão espacial das funções de onda é determinada por

$$\frac{\pi^2}{m_e z ke^2} = \frac{a_B}{z}$$

Exemplo: estado fundamental é

$$\psi_{1s} = A e^{-r/a_B/2} = A e^{-2r/a_B}$$

⇒ os estados do íon hidrogenuíde são os do hidrogênio com extensão espacial contraída por fator $\frac{1}{Z}$.

Consequência para átomos de muitos elétrons: quando elétron se move sob atrações de carga $\frac{Ze}{r}$, suas energias permitidas são Z^2 vezes as do átomo de hidrogênio, e sua distribuição espacial é contraída por fator $\frac{1}{Z}$ quando comparada com a do H.